

التطابق الطيفي باستخدام الأمواج الصغيرة مقارنة بالتقسيس الموحد في مجال الزمن للسجل الزلزالي وفق الكود الأميركي

الدكتور بسام حويجة *

سراج جديه **

(تاريخ الإيداع 31 / 5 / 2015 . قبل للنشر في 25 / 8 / 2015)

□ ملخص □

تحدد الحركات الأرضية التصميمية في العادة بواسطة طيف استجابة مصقول. ويفضل المهندسون غالباً استخدام سجل زمني مطابق لطيف الاستجابة الهدف أكثر من تخمين استجابة المنشآت اعتماداً على مجموعة من السجلات الزمنية التي تستحضر طيف الاستجابة الهدف من خلال المتوسط لتلك المجموعة. عموماً هناك طريقتين مفضلتين لتقسيس السجلات الزمنية الحقيقية لتطابق طيف استجابة تصميمي: أولاً، التقسيس الموحد في مجال الزمن وهو ببساطة تقسيس السجل الزمني بتكبيره أو تصغيره بشكلٍ موحد لتم مطابقتة مع طيف الاستجابة الهدف بالشكل الأفضل وذلك على مجال محدد للدور، من دون حصول أي تغيير في المحتوى الترددية. ثانياً، المطابقة الطيفية في مجال الزمن والتي تنتج تشويش موضعي على كلٍ من السجل الزمني وطيف الاستجابة الخاص به، حيث يمكن إجراء تعديلات صغيرة على السجل الزمني للتغيير طيف الاستجابة الخاص به من مسنن إلى مصقول، وبحيث إذا تمت هذه التعديلات بشكلٍ مناسب يمكن أن يبقى السجل واقعياً.

يجب أن يتم تقييم الطبيعة الحقيقية للسجل الزمني في مجال الزمن من خلال الخصائص المتغيرة للتسارع والسرعة والانتقال. وهنا اختبرت فعالية الطريقتين من خلال تطبيقهما على مجموعة من السجلات الزمنية الحقيقية بغرض تعديل هذه السجلات لتطابق طيف الاستجابة الهدف بالتوازي مع تصغير الاضطرابات في خصائص تلك السجلات.

تم توظيف إجراءات التقسيس في مجال الزمن لتقسيس خمسة عشر مجموعة وكل مجموعة مكونة من سبعة سجلات من السجلات الزمنية الحقيقة المتوفرة لهدف مطابقة الطيف التصميمي السوري. وقمنا بفحص السجلات الزمنية الناتجة ومقارنتها لتبين مدى ملائمتها للاستخدام كتابع تحريض في التحليل بالسجل الزمني لمنشآت الهندسة المدنية.

الكلمات المفتاحية: الكودات الزلزالية، اختيار السجلات، الطابع السيسمولوجي، تقسيس السجلات، التحليل بالسجل الزمني، مجال الزمن، التطابق الطيفي.

* أستاذ - قسم الهندسة الإنسانية - كلية الهندسة المدنية - جامعة تشرين - اللاذقية - سورية.

** طالب دكتوراه - قسم الهندسة الإنسانية - كلية الهندسة المدنية - جامعة تشرين - اللاذقية - سورية.

Spectral Matching by Wavelets vs. ASCE Ground Motion Uniform Scaling in Time Domain

Dr. Bassam Hwaija*
Seraj Jdyd**

(Received 21 / 6 / 2015. Accepted 21 / 1 / 2015)

□ ABSTRACT □

Design ground motions are typically prescribed by smooth response spectra. Engineers often prefer to use a time history that matches the target design spectrum rather than evaluate a structure for a sit of time histories that are representative of the target spectrum in an ensemble average.

Generally, scaling actual time histories to match a given design spectrum can be made by two preferred methods: First, ground motions uniform scaling in time domain which is simply scaled up or down the ground motion uniformly to best match the target spectrum within a period range of interest, without changing the frequency content. Second, spectral matching in time domain which produces only localized perturbations on both the time history and the its response spectrum, where small adjustments can be made to a time history to change its response spectrum from jagged to smooth, if done properly the resulting time history can be “realistic”.

The realistic nature of a time history should be judged in the time domain in terms of the non stationary character of acceleration, velocity and displacement, for that the effectiveness of the two methods is examined by applying them to adjust actual earthquake time histories to much the design spectra while minimizing perturbations on their characteristics.

The procedures are utilized to scale 15 set of records, every set consists of seven records of available real records to match the Syrian design spectra. The resulting time histories are investigated and compared in terms of suitability as input to time history analysis of civil engineering structures.

Keywords: Seismic Standards, Record Selecting, Seismological Signature, Record Scaling, Time-History Analysis, Time Domain, Spectral Matching.

*Professor, Department Of Structural Engineering, Faculty of Civil Engineering, Tishreen University, Lattakia, Syria.

** Postgraduate student , Department Of Structural Engineering, Faculty of Civil Engineering, Tishreen University, Lattakia, Syria.

مقدمة :

نظراً لازدياد قاعدة البيانات المتوفرة الخاصة بالحركات الأرضية القوية فإن استخدام وتقييس السجلات الحقيقية أصبح أحد أهم أغراض الأبحاث المعاصرة في هذا المجال، ولكن بقيت عملية اختيار وتقييس السجلات المناسبة للحدث الزلزالي المتوقع في مكان ما أمراً قيد البحث و الجدل بين الباحثين.

إن معايير اختيار السجلات الزمنية المناسبة لمطابقة طيف استجابة تصميمي تأخذ بعين الاعتبار السمات الجيولوجية والسيسمولوجية للموقع المحدد. ومن ناحية أخرى فإن هناك ثلث طرائق لتقييس السجلات الزمنية الحقيقية لتطابق طيف استجابة تصميمي: التقييس الموحد في مجال الزمن، والمطابقة الطيفية في مجال الزمن، وأخيراً المطابقة الطيفية في مجال التردد والتي تم استبعادها من قبلنا بسبب عدم دقة نتائجها.

طرح الباحثون عدداً من المقاربات في اختيار وتقييس السجلات الزلزالية لاستخدامها في عملية التحليل بالسجل الزمني. فقد أورد الباحث [Graizer, 2009] على سبيل المثال أن الشكل الطيفي Spectral shape لطيف الاستجابة التصميمي يحدد خصائص الزلزال المطلوب، ويرتبط هذا الشكل بعدد من البارامترات مماثلة بالقوة والمسافة ومواصفات الموقع. واستناداً إلى الأبحاث المستمرة في هذا المجال وضعت بعض الاستراتيجيات في كودات التصميم العالمية لاختيار وتقييس السجلات الزمنية المناسبة ولكنها تعد قواعد ومبادئ توجيهية "فقيرة" غير كاملة Poor Guidelines ، وهذا يعود إلى أن الأبحاث في هذا المجال مازالت تتطور وبشكل سريع وتحتاج إلى عدة سنوات أخرى لاعتمادها كما هو متوقع. تقتصر توصيات الكودات في اختيار وتقييس سجلات الحركات الأرضية على مطابقة أطياف تلك السجلات مع طيف الاستجابة التصميمي ضمن مجال محدد للدور ، وعلى أن تملك السجلات خصائص سيسمولوجية و تكتونية مشابهة للحدث المتوقع في المكان المدروس.

أهمية البحث وأهدافه:

يعتمد الكود السوري كغيره من الكودات قواعد ومبادئ توجيهية "فقيرة" وغير واضحة في عملية اختيار وتقييس السجلات الزمنية، إضافة إلى قلة السجلات الزمنية المتوفرة للزلزال السوري بسبب التأخر في إنشاء الشبكة الوطنية للرصد الزلزالي حتى عام 1995 ، علماً أن المنطقة معرضة لأحداث زلزالية ضخمة وقد شهدت عدداً كبيراً من الزلزال المدمرة كالزلزالين (1872, M= 7.4) ، (1822, M=7.2) والذين حدثا في الشمال الغربي السوري ، وهذا ما تم تأكيده من قبل الباحث [Hatem, 2012] و الباحث [Graham, 2001].

يهدف هذا البحث إلى العمل على الاستفادة من قاعدة البيانات العالمية للحركات الأرضية القوية، كما هو معمول به من قبل كثير من الباحثين والمهندسين، من خلال اعتماد المنهجيات الحديثة في عملية تقييس السجلات الزمنية الزلزالية والتي تستند إلى نتائج آخر الأبحاث العلمية، وذلك بعد اختبار طريقتين لعملية التقييس و المقارنة بين السجلات الزمنية الناتجة لاعتماد الأفضل من حيث: 1- مدى مطابقة أطياف السجلات الناتجة للطيف الهدف. 2- مقدار تضرر السجلات الأصلية الناتج عن عمليات التقييس، وذلك من خلال قياس بعض البارامترات الزلزالية.

طرائق البحث ومواده:

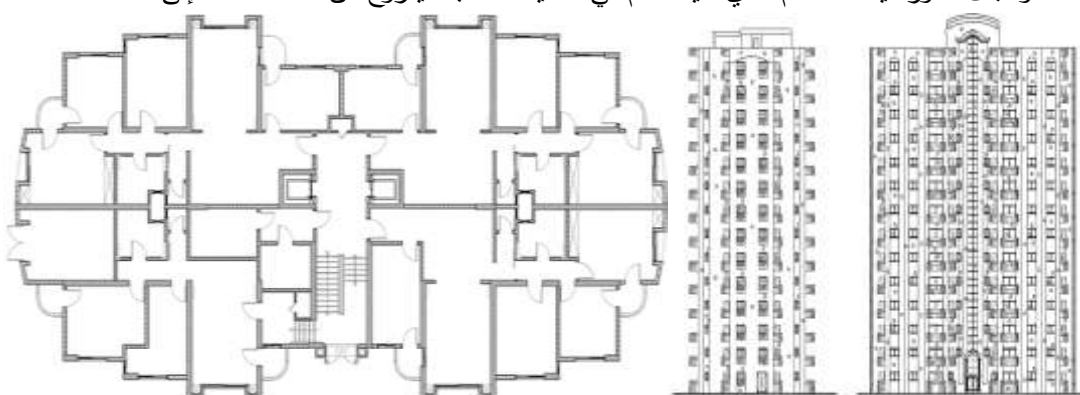
اعتمدنا النهج التحليلي في إنجاز هذا البحث، إذ قمنا بدراسة مرجعية معمقة ودقيقة لعددٍ كبيرٍ من الأبحاث والمراجع الحديثة المتعلقة بموضوع تقييس السجلات الزلزالية لتبيان الأسس العلمية المعتمدة حتى تاريخه في عملية

التقسيس وتقدير أهميتها. أيضاً، قمنا باختيار مجموعة من السجلات الزمنية باستخدام برنامج REXEL [8] لأحد المواقع في الجغرافيا السورية بما يتناسب مع اشتراطات الكود السوري (المطابقة لاشتراطات الكود الأميركي)، بعد أن تم تحديد الدور الأساسي لأحد المنشآت بإجراء التحليل النمطي Modal Analysis بواسطة برنامج ETABS [3]. ثم قمنا بتقسيس هذه السجلات باستخدام طريقتين هما التطابق الطيفي باستخدام الأمواج الصغيرة والتقسيس الموحد في مجال الزمن وأجرينا مقارنة بين السجلات المقيسة من حيث المطابقة للطيف الهدف وأيضاً مقارنة بaramتراتها الزلالية والتي تم حسابها باستخدام برنامج Seismosoft [11].

1-3- Case Study : الحالة المدروسة

تقع منطقة الدراسة في مدينة اللاذقية (Long: 35.78; Lat: 35.54) شمال غرب سوريا ضمن الجزء الشمالي الغربي للصفحة العربية، جنوب شرق منطقة الانقاء للصهاف التكتونية الثلاث الإفريقية والعربية والأناضولية والمعروفة باسم Maras Triple Junction (Dubertret, 1970) [4]. ولتحديد آلية (ميكانيزمات) المصادر الزلالية تم الرجوع إلى عدة دراسات مرجعية أهمها الدراسة المقدمة من قبل الباحث (Graham, 2001) [6] التي أفادت أن مدينة اللاذقية تتأثر بعدد من الصدوع والتي يمكن تصنيفها بين صدوع مقلوبة وصدوع انزياح جانبي وصدوع عمودية. تتطابق هذه المعلومات مع الدراسة التي أوردها الباحث Hatem (2012) [7] عند إعادة تحديد الخطير الزلالي في سوريا والذي حدد المصادر الزلالية التي تؤثر على الساحل السوري وبالتالي: (Mediterranean Fault) صدع تداخل Thrust بين صفتختين قاريتين (تصادم)، (Yamona Fault) والذي يتكون من صدعين صدع انزياح جانبي و صدع عمودي، (Al-Ghab Fault) وهو صدع انزياح جانبي يسارى، (Alepo Fault System) صدع عمودي. كما حدتنا مجال القوة والمسافة للزلزال التي سيتم اختيارها انتلاقاً من نفس الدراسة (Hatem, 2012) [7] وفق ما يلي:

- قمنا باختيار أحد نماذج الأبنية لمشروع الادخار السكني في مدينة اللاذقية، و تم حساب قيمة الدور للنموذج المكون من 14 طابقا، تبلغ مساحة الطابق 600 m^2 والذي يظهر في الشكل (1) بإجراء التحليل النمطي Modal Analyses للنموذج باستخدام برنامج ETABS، فتبين أن الدور الأساسي للنموذج وفق الاتجاه الأخطر هو $T_1 = 1.29 \text{ sec}$ و المجال الدور قيد الاهتمام الذي سيستخدم في عملية المطابقة يتراوح من 0.17 sec إلى 0.86 sec .

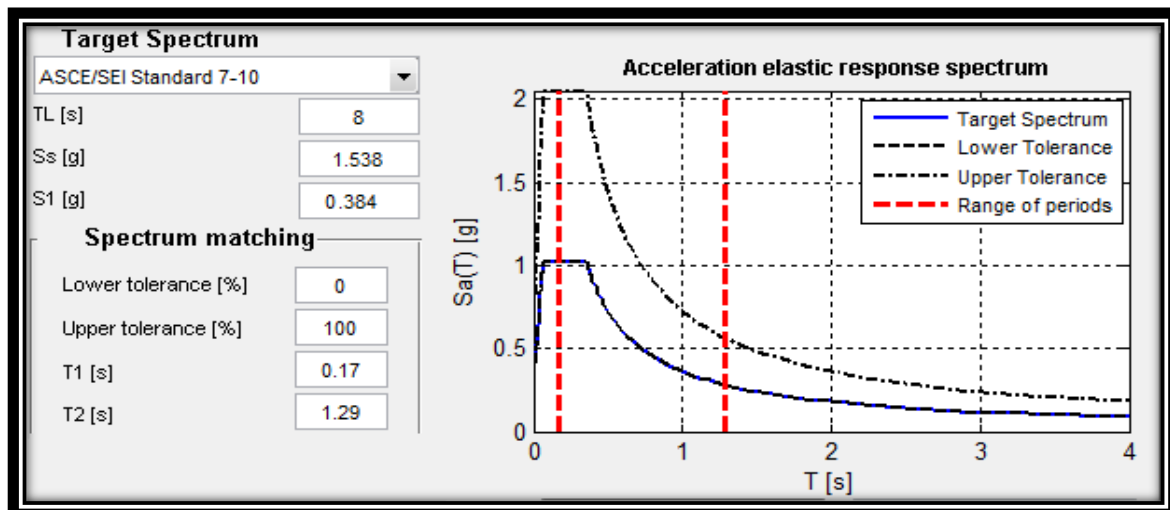


الشكل (1): الواجهات الجانبية والمسقط المعماري للنموذج المكون من 14 طابق.

- تم حساب الطيف التصميمي لمدينة اللاذقية الموضح بالشكل (2) باحتمالية حدوث 10 % خلال فترة تعرض 50 عام، أي فترة تكرار زمنية 475 سنة حسب ملحق الكود السوري للزلزال [12] من أجل المعاملات:

$$S_s = 1.538 \text{ g}, S_1 = 0.384 \text{ g}, T_L = 8 \text{ sec} \Rightarrow PGA = 0.41g .$$

(هـ) نموذج 5 نوع التربة Sc حسب الدراسة الجيوتكنيكية لموقع الادخار السكني في اللاذقية البناء البرجي الصادر عن مديرية الهندسة الجيوتكنيكية و المساحة في الشركة العامة للدراسات والاستشارات الفنية.



.الشكل (2): الطيف الهدف وحدود الدور قيد الاهتمام والحد السفلي للطيف الهدف ASCE 7-10

- يهدف اختيار السجلات الزلزالية الحقيقية إلى مطابقة أشكال محددة من الحركات الأرضية، ويعتمد هذا الاختيار على شكل طيف الاستجابة التصميمي المرن بمراعاة عدد من البارامترات ممثلة بالقوة و المسافة ومواصفات الموقع كما تطالب كودات التصميم، حيث يحدد شكل طيف الاستجابة خصائص الزلزال المطلوبة. ولذلك عندما يراد إجراء تحليل بالسجل الزمني يجب اختيار سجلات تملأ شكل طيفي متقارب.

- اعتمدت قاعدة البيانات الأوروبية European Strong-motion Database (ESD) والتي تحتوي على 1383 سجلًا زلزاليًا (السجل مكون من مركبتين أفقيتين ومركبة شاقولية) ليتم اختيار السجلات منها، وهي متوفرة على الموقع الإلكتروني: ([http://www.iseds.hi.is/ESD_Local\(frameset.htm\)](http://www.iseds.hi.is/ESD_Local(frameset.htm)))

- ينص الكود الأميركي في الفقرة 1.6.2.2 (ويماثله 2[ASCE 7-05] و 13[UBC97]), على أنه يجب استخدام ثلاثمجموعات Data Sets من السجلات الزمنية للحركات الأرضية على الأقل (ت تكون المجموعة من مركبتين أفقيتين، أو مركبة شاقولية في حال وجوب اعتبار الحركة الشاقولية) عند إجراء التحليل باستخدام السجل الزمني، والتي يجب اختيارها وتقبيسها من ثلاثة أحداث مسجلة على الأقل. يجب أن تكون السجلات الزمنية لها قوة زلزالية للهزات والمسافات عن الصدع وميكانيزمات مصادر زلزالية تتسم مع تلك التي تحكم الهرة الأساسية التصميمية (أو الزلزال الأعظمي التصميمي).

- أجريت عملية الاختيار باستخدام برنامج REXEL [8] الذي يمكن بواسطته إنشاء طيف الاستجابة التصميمي وفق عدة كودات أحدها الكود الأميركي ASCE 7-10، هذا ويمكن إدخال طيف استجابة خاص من قبل المستخدم. وبناء على هذا الطيف يمكن للبرنامج البحث ضمن قاعدة البيانات عنمجموعات تتكون كل مجموعة من سبعة سجلات بحيث يكون الطيف المتوسط لها محققاً لاشتراطات الكود المستخدم.

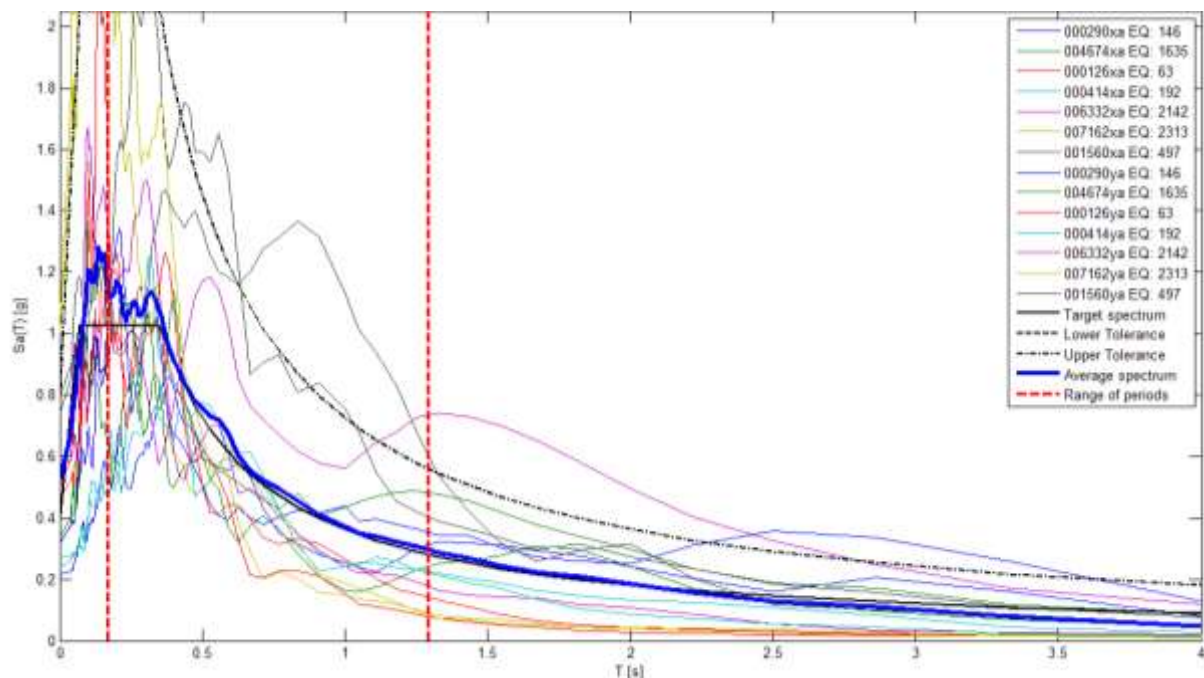
نتائج عملية الاختيار:

قمنا باختيار 15 مجموعة من السجلات الزلالية تعود لأحداث زلالية مختلفة بما يحقق اشتراطات الكود، وهي معرفة في الجدول (1) الذي يبين رقم المجموعة وأسمها المكون من سبعة رموز (nx, ny) ، يعود كل رقم إلى حدث زلالي من قاعدة البيانات المذكورة والذي يمثل سجل زلالي مكون من مرکبتين أفقيتين.

جدول (1): مجموعات السجلات الزلالية المختارة.

Earthquake ID																
7162y	7162x	6332y	6332x	4674y	4674x	1560y	1560x	414y	414x	290y	290x	126y	126x	Set(1)		
6349y	6349x	4674y	4674x	1560y	1560x	594y	594x	414y	414x	290y	290x	126y	126x	Set(2)		
7162y	7162x	6349y	6349x	4674y	4674x	1560y	1560x	414y	414x	290y	290x	126y	126x	Set(3)		
7162y	7162x	4674y	4674x	1560y	1560x	414y	414x	290y	290x	126y	126x	74y	74x	Set(4)		
7162y	7162x	4674y	4674x	1703y	1703x	1560y	1560x	414y	414x	290y	290x	126y	126x	Set(5)		
7162y	7162x	6332y	6332x	4674y	4674x	1560y	1560x	290y	290x	126y	126x	55y	55x	Set(6)		
4674y	4674x	1560y	1560x	879y	879x	594y	594x	290y	290x	126y	126x	74y	74x	Set(7)		
6263y	6263x	4674y	4674x	1560y	1560x	879y	879x	594y	594x	290y	290x	126y	126x	Set(8)		
7162y	7162x	4674y	4674x	1560y	1560x	879y	879x	290y	290x	126y	126x	42y	42x	Set(9)		
6349y	6349x	4674y	4674x	1560y	1560x	879y	879x	501y	501x	290y	290x	126y	126x	Set(10)		
6349y	6349x	6263y	6263x	4674y	4674x	879y	879x	290y	290x	126y	126x	74y	74x	Set(11)		
7162y	7162x	6349y	6349x	4674y	4674x	1560y	1560x	879y	879x	290y	290x	126y	126x	Set(12)		
7162y	7162x	4674y	4674x	1560y	1560x	879y	879x	290y	290x	126y	126x	74y	74x	Set(13)		
7162y	7162x	4674y	4674x	1560y	1560x	879y	879x	290y	290x	196y	196x	126y	126x	Set(14)		
7162y	7162x	4674y	4674x	1703y	1703x	1560y	1560x	879y	879x	290y	290x	126y	126x	Set(15)		

أدرجنا في الشكل (3) المجموعة الأولى من هذه السجلات ممثلة بواسطة أطيفات الاستجابة كمثال للتوضيح.



الشكل (3): متوسط أطیاف المجموعة الأولى من السجلات الزلزالية (14 مركبة لسبعة زلزال) في مجال الدور قيد الاهتمام.

ويبين الجدول (2) اسم الحدث الزلزالي ورقم السجل بالإضافة لمعلومات أخرى كالقوة والتسارع الأرضي الأعظمي لكلا المركبتين للمجموعة الأولى من السجلات Set(1).

جدول (2): المجموعة الأولى من السجلات الزلزالية المختارة.

Waveform ID	Earthquake ID	Station ID	Earthquake Name	Date	Mw	Fault Mechanism	Ep D [km]	PgaX m/s^2	PgaY m/s^2
رمز الإشارة	رمز الزلزال	رمز المحطة	اسم الزلزال	التاريخ	المقدار	آلية الصدوع	المسافة	التسارع	التسارع
290	146	ST96	Campano Lucano	11/23/1980	6.9	normal	32	2.1206	3.1662
4674	1635	ST2486	South Iceland	6/17/2000	6.5	strike slip	5	3.1176	3.3109
126	63	ST35	Friuli (aftershock)	9/15/1976	6	thrust	21	4.6466	4.9562
414	192	ST163	Kalamata	9/13/1986	5.9	normal	11	2.3537	2.6703
6332	2142	ST2483	South Iceland (aftershock)	6/21/2000	6.4	strike slip	6	5.1881	5.5698
7162	2313	ST3297	Firuzabad	6/20/1994	5.9	strike slip	7	9.8239	10.444
1560	497	ST541	Duzce 1	11/12/1999	7.2	oblique	39	7.3108	7.8496

2- بارامترات الحركات الأرضية القوية :Strong Ground motion Parameters

تعد بارامترات الحركات الأرضية أساسية لوصف الخصائص الهامة للحركات الأرضية القوية بشكلٍ كمي موجز. جرى تقديم العديد من البارامترات لتوصيف المطالعات والمحتوى الترددية Frequency content والمدة للحركات الأرضية القوية، بعضها يصف واحدة من الخصائص فقط بينما البعض الآخر قد يعكس اثنين أو الثلاثة خصائص مجتمعة. ومن المستحب أن تصنف واحدة من هذه البارامترات فقط كل الخصائص الهامة للحركات الأرضية بشكلٍ كافٍ وذلك بسبب تعقيد الحركات الأرضية الزلزالية [9](Kramer, S.L. 1996) . وبما أن جميع هذه

الخصائص مهمة فالبارامترات التي تعبّر عن أكثر من خاصية واحدة مفيدة جداً. وفيما يلي نبين شرعاً مبسطاً لمجموعة من هذه البارامترات:

2-1- بارامترات المطال :Amplitude Parameters

أكثُر الطرائق شيوعاً لوصف الحركات الأرضية هي بواسطة السجلات الزمنية. يمكن أن تكون الانتقالات أو السرعات أو التسارعات أو الثلاثة مجتمعة كبارامترات للحركات الأرضية. يتم عادة قياس واحدة من هذه البارامترات فقط ويتم الحصول على الباقي بواسطة التكامل أو الاشتغال.

2-1-1- التسارع الأعظمي :Peak Acceleration

إن المقياس الأكثر شيوعاً المستخدم لقياس مطال حركة أرضية معينة هو التسارع الأفقي الأعظمي Peak Horizontal Acceleration (PHA). التسارع الأعظمي لمركبة ما هو ببساطة القيمة الأعظمية للتسارع بأخذ المجموع الأفقي بالقيمة المطلقة والمأخوذ من سجل التسارع للمركبة. ويمكن اعتماد القيمة الأعظمية للتسارع الشعاعي لمركبيتين متocomمدين (والتي لن يتوافق اتجاهها غالباً مع أي من المركبيتين). إن الحركات الأرضية التي تملك فيما كبيرة للتسارع الأعظمي تكون أكثر تدميراً في العادة (لكن ليس بشكل مطلق)، حيث أن التسارع الكبير الذي يستمر لفترة زمنية قصيرة يتسبب بضرر قليل نسبياً لعدة أنواع من المنشآت. تجاوز التسارع الأعظمي لبعض الزلزال القيمة 0.5g ولكن لم يتسبب بضرر ملحوظ في المنشآت لأنه ترافق مع تردد عالي جداً ومدة الزلزال لم تكن طويلة. وبالرغم من أن التسارع الأعظمي بارامتر هام ومفيد إلا أنه لا يعطي أية معلومات عن المحتوى الترددية أو عن مدة الحركة الأرضية القوية؛ ويجب أن يترافق مع معلومات أخرى لتوصيف الحركات الأرضية بشكلٍ كافٍ.

2-1-2- السرعة الأعظمية :Peak Velocity

السرعة الأفقيّة الأعظمية PHV هي بارامتر آخر مفيد لوصف مطال الحركة الأرضية. بما أن السرعة أقل حساسية للتترددات العالية لذلك فهي تستخدم لتشخيص الزلزال ذات التترددات متوسطة القيمة، وذلك من أجل المنشآت التي تتأثر بهذا النوع من التترددات كالجسور والأبنية المرتفعة والمرنة مثلاً. ويمكن للسرعة الأعظمية أن تكون مؤشراً أكثر مصداقية لضرر الزلزال المحتمل على المنشآت من التسارع الأعظمي. كما تم ربط السرعة بشدة الزلزال من قبل الباحثين Krinitzsky and Chang, 1987.

2-1-3- التسارع الأعظمي المعزز :Sustained Maximum Acceleration

استخدم الباحث Nuttli 1979 قيمةً أصغر من التسارع لتشخيص الزلزال، وذلك بتحديد التسارع الأعظمي المعزز لثلاث (أو خمس) دورات كثُلث (أو خمس) القيمة المطلقة لأكبر قيمة من التسارع في السجل الزمني، وحدّدت السرعة الأعظمية المكررة Sustained Maximum Velocity بنفس الأسلوب. عندما تكون قيم التسارع الأعظمي المكرر مختلفة بين زلزالين بالرغم من تقارب التسارع الأعظمي قد يؤدي إلى أضرار كبيرة في المنشآت التي تتضرر بتكرار دورات الحركات الأرضية، وبالتالي فإنه من الأفضل تشخيص هذه الزلزال باستخدام التسارع المكرر الأعظمي.

2-1-4- التسارع التصميمي الفعال :Effective Design Acceleration

إن مفهوم التسارع التصميمي الفعال قد حدد من قبل عدة باحثين، فمعظم المنشآت تستجيب استجابة صغيرة للنبضات ذات التسارعات الكبيرة المترافق مع التردد العالى، لذلك قام الباحث Benjamin, Associates 1988 بتعريف التسارع التصميمي الأعظمي على أنه التسارع الأعظمي الباقي بعد فلترة التسارعات التي تزيد عن الترددات

من 8 إلى 9 هرتز. كما حدد الباحث Kennedy 1980 تسارع التصميم الأعظمي بأنه أكبر بـ 25% من القيمة المطلقة للتسارع الأعلى الثالث من السجل المفلتر.

2-2- بaramترات المحتوى الترددى :Frequency Content Parameters

إن أبسط أنواع التحليل تبين أن جميع المنشآت (أبنية، جسور، منحدرات،.....) حساسة للترددات التي تحرض بواسطتها، حيث تنتج الزلازل توابع تحريض معقدة بمركبات تحتوي على مجال واسع من الترددات. يصف المحتوى الترددى كيفية توزيع المطالات للزلزال على قيم مختلفة من الترددات . وبما أن المحتوى الترددى سوف يؤثر بشكل كبير على فعالية الزلزال، كان من الضروري جداً استخدامه كبارامتر مهم لاتكمال توصيف الزلزال. وتعد النسبة v_{max}/a_{max} أحد أهم البارامترات لتوصيف المحتوى الترددى.

2-2-1- السرعة الأعظمية / التسارع الأعظمي :

بما أن التسارع الأعظمي والسرعة الأعظمية ترتبط في العادة بترددات مختلفة فإن النسبة v_{max}/a_{max} يجب أن تكون مرتبطة بالمحوى الترددى. فعلى سبيل المثال فإن هذه النسبة من أجل حركة هارمونية بسيطة ذات دورة $T = T/2\pi$. ومن أجل حركة زلزالية فإن القيمة $2\pi * (v_{max}/a_{max})$ يمكن أن تعبر عن دور حركة هارمونية مكافئة، هذا قد يعده مؤشراً إلى الدور الأكثر تميزاً في الحركة الأرضية.

2-3- الجذر التربيعي المتوسط للتسارع :RMS Acceleration

يعكس الجذر التربيعي المتوسط تأثير المحتوى الترددى و المطال ويحدد بالعلاقة:

$$a_{rms} = \sqrt{\frac{1}{T_d} \int_0^{T_d} [a(t)]^2 dt} \quad (1)$$

حيث أن T_d هي مدة الزلزال.

حيث أن $a(t)$ هو التسارع في اللحظة t .

لا يتتأثر التكامل الموجود بالعلاقة (1) بالتسارعات ذات الترددات المرتفعة بشكل قوي، والتي تحصل خلال فترة قصيرة فقط، كما أنها تتتأثر بوجود مدة الحركة في هذه العلاقة مما يزيد من أهميتها للأغراض الهندسية، ولكن قيمتها قد تكون حساسة للطريقة التي تقاس بواسطتها مدة الحركة القوية إلى حد ما.

4-2- شدة أرياس (Arturo Arias in 1970) Intensity :

يرتبط هذا البرامتر بشكل وثيق بالجذر التربيعي المتوسط للتسارع RMS Acc

$$I_a = \frac{\pi}{2g} \int_0^{\infty} [a(t)]^2 dt \text{ m/sec} \quad (2)$$

حيث أن g هي تسارع الجاذبية الأرضية.

يعبر عنه بوحدة السرعة، وهو مستقل عن الطريقة التي تحسب فيها مدة الزلزال لأن التكامل يمتد على كامل المدة الزمنية للسجل الزمني.

5-2- السرعة المطلقة التراكمية :Cumulative Absolute Velocity

وهي ببساطة المساحة المحسوبة تحت السجل الزمني بالقيم المطلقة. وقد وجد أنها مرتبطة بشكل وثيق بالضرر الإنساني المحتمل. وتحسب بالعلاقة:

$$CAV = \int_0^{T_d} |a(t)| dt \quad (3)$$

6-2 الشدة المميزة :Characteristic Intensity

يرتبط هذا البرامتر بشكلٍ خطٍ بسلسل الضرر الإنثائي الناتج عن التشوّهات الأعظمية والطاقة الممتصة التراجعية Absorbed Hysteretic Energy (أي الطاقة المبذلة أثناء الحركة).

$$I_c = a_{rms}^{1.5} T_d^{0.5} \quad (4)$$

7-2-3 شدة طيف الاستجابة لهوسنر :Housner Intensity

بما أن الدور الأساسي لمعظم المنشآت بين 0.1 sec , 2.5 sec فإن إحداثيات طيف الاستجابة المحددة بهذا المدى من الأدوار يجب أن تعطى مؤشراً على الاستجابة المحتملة لهذه المنشآت . ولهذا حدّدت شدة طيف الاستجابة بالعلاقة:

$$SI(\xi) = \int_{0.1}^{2.5} PSV(\xi, T) dT \quad (5)$$

وبتعبير آخر هي المساحة الممحصورة تحت طيف الاستجابة للسرعة الوهمية في المجال 0.1 sec, 2.5 sec . يمكن لهذه العلاقة أن تحسب لأي نسبة تخاذم إنثائي . وهي تعبر عن جوانب مهمة للمحتوى الترددية و المطالات .

8-2-3 مواصفات السجلات الزمنية المختارة:

قمنا بحساب البرامترات الزلالية الخاصة بالمركبات الزلالية لجميع المجموعات وكمثال أدرجنا قيم المجموعة الأولى فقط بالجدول (3) الذي يبيّن رقم السجل الزلالي ومجموعة البرامترات الخاصة به والتي تم حسابها باستخدام برنامج Seismosoft ، بالإضافة للمتوسط الحسابي لكل من هذه البرامترات والانحراف المعياري الخاص بها.

جدول (3): البرامترات الزلالية الخاصة بالسجلات الزمنية للمجموعة الأولى.

$\leftarrow 1560x$	414y	414x	290y	290x	126y	126x	(رموز سجلات المجموعة (1Set 1)
7.31	2.67	2.35	3.17	2.12	4.96	4.65	التسارع الأعظمي Max Acc (m/sec ²)
53.65	23.53	31.65	54.61	33.51	21.66	27.41	السرعة الأعظمية Max Velocity (cm/sec)
0.07	0.09	0.13	0.17	0.16	0.04	0.06	السرعة الأعظمية / التسارع الأعظمي Vmax/Amax (sec)
0.64	0.39	0.34	0.40	0.34	0.82	0.68	الجذر التربيعي المتوسط Acc RMS (m/sec ²)
3.66	0.74	0.55	1.51	1.30	1.09	0.73	شدة أرياس Arias Intensity (cm/sec)
3.82	1.35	1.08	1.93	1.66	2.36	1.76	الشدة المميزة

								Characteristic Intensity
1482.0	536.0 0	452.0 0	1318. 0	1335. 0	446.0 0	390.0 0	السرعة المطلقة التراكمية Cum. Abs. Velocity (cm/sec)	
213.00	90.00 0	101.0 0	166.0 0	136.0 0	50.00	66.00	شدة هوسنر Housner Intensity (cm)	
4.16	1.95	2.29	1.87	1.73	2.42	2.24	التسارع الأعظمي المعزز Sustained Max Acc (m/sec ²)	
6.17	2.78	2.41	3.12	2.19	5.33	4.68	التسارع التصميمي الفعال Effe Design Acc (m/sec ²)	
الانحراف المعياري St Dev	المتوسط الحسابي Average	7162y	7162x	6332y	6332x	4674y	4674x	1560y→
2.73	5.18	10.44	9.82	5.57	5.19	3.31	3.12	7.85
19.32	40.84	40.00	30.84	82.90	21.85	23.88	61.27	64.91
0.06	0.10	0.04	0.03	0.15	0.04	0.07	0.20	0.08
0.20	0.51	0.86	0.76	0.43	0.38	0.32	0.32	0.52
2.13	2.20	7.65	5.95	1.53	1.21	1.24	1.24	2.41
1.59	2.53	6.43	5.32	2.02	1.70	1.57	1.57	2.79
484.00	921.00	1738.0	1561.0	573.00	554.00	670.00	669.00	1174.0
72.00	133.00	72.00	59.00	278.00	91.00	123.00	177.00	237.00
2.00	3.51	7.49	8.05	4.61	2.75	3.15	2.82	3.59
1.93	4.62	8.14	6.44	4.97	4.47	3.22	3.11	7.59

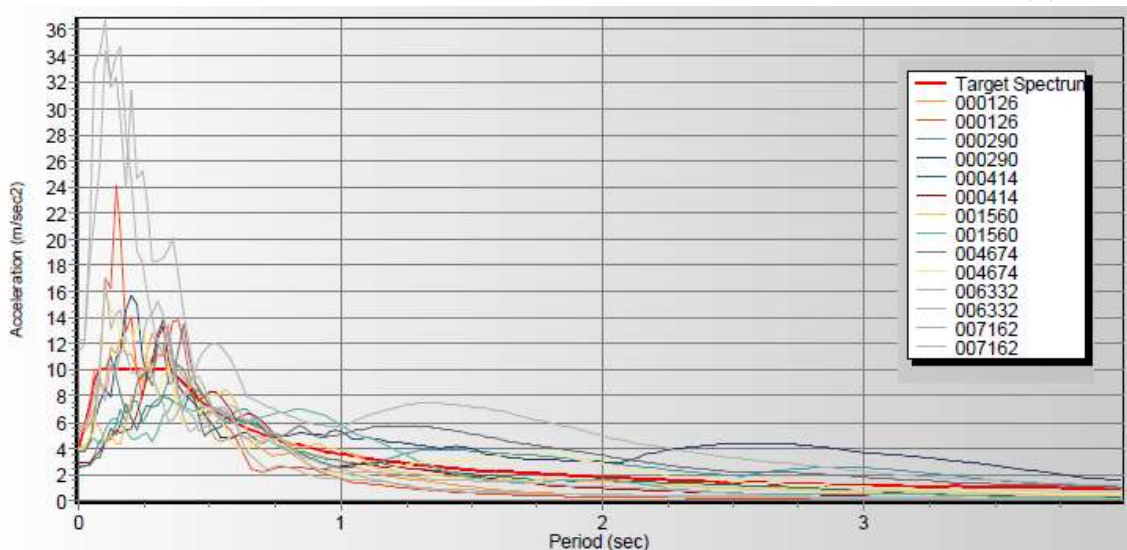
3- طرائق التقييس للسجلات الزلزالية :Methods of Ground Motion Scaling

تهدف عملية تقييس السجلات الزلزالية الحقيقة إلى مطابقة أشكال محددة من الحركات الأرضية والممثلة على شكل طيف الاستجابة التصميمي المرن. تم تقديم طريقتين لعملية التقييس:

1-3- التقييس الموحد في مجال الزمن : Uniform Scaling in Time Domain

تعتمد هذه المقاربة ASCE scaling ببساطة على تقييس السجل الزمني بتكبيره أو تصغيره بشكل موحد باستخدام معامل ضرب لتتم مطابقته مع طيف الاستجابة الهدف بالشكل الأفضل، وذلك على مجال محدد للدور من دون حصول أي تغيير في المحتوى الترددي. ينص الكود الأمريكي [2] (ومثله الكود السوري[12]) في الفقرة 1.6.2.2

(ويماثله ASCE 7-05 [13]) على أنه يجب استخدام ثلات سجلات على الأقل عند إجراء التحليل باستخدام السجل الزمني. ومن أجل كل مجموعة (زوج المركبات الأفقية) يتم إنشاء طيف SRSS 7- ASCE (05/16.1.3.2) وهو الجذر التربيعي لمجموع مربعات أطيفات المركبات الأفقية المقيسة الخاصة بالموقع ذات التخادم 5% (حيث يطبق معامل تقسيس متطابق لكلا المركبتين الأفقيتين في الزوج (ASCE 7-05/16.1.3.2)). يجب أن تقيس المجموعة بحيث أن Average لكل أطيف SRSS للمجموعات (الأزواج الأفقية) يجب أن لا يقل عن 1.3 مرة من القيم المقابلة على طيف الاستجابة التصميمي وذلك في مجال معين للدور بين T_1 و T_1 بأكثر من 10%. حيث أن T_1 هو الدور الأساسي للمنشأ. يبين الشكل (4) أطيف الاستجابة الخاصة بالسجلات الزلالية الناتجة للمجموعة الأولى بعد تقسيسها. قمنا بإدراج قيم البارامترات الخاصة بالمجموعة الأولى فقط بالجدول (4).



الشكل (4): أطيف استجابة السجلات الزمنية المقيسة للمجموعة الأولى باستخدام ASCE Scaling والطيف الهدف.

جدول (4): البارامترات الزلالية الخاصة بالسجلات الزمنية المقيسة باستخدام ASCE Scaling للمجموعة الأولى.

								(رموز سجلات المجموعة (1Set 1)
←1560x	414y	414x	290y	290x	126y	126x		التسارع الأعظمي Max Acc (m/sec²)
3.80	2.91	2.57	3.89	2.61	5.60	5.25		السرعة الأعظمية Max Velocity (cm/sec)
27.90	25.65	34.50	67.18	41.22	24.47	30.98		السرعة الأعظمية / التسارع الأعظمي Vmax/Amax (sec)
0.07	0.09	0.13	0.17	0.16	0.04	0.06		الجزء التربيعي المتوسط Acc RMS (m/sec²)
0.33	0.43	0.37	0.49	0.41	0.93	0.76		

0.99	0.88	0.66	2.28	1.97	1.39	0.93	شدة أرياس Arias Intensity (cm/sec)	
1.43	1.54	1.23	2.63	2.26	2.84	2.11	الشدة المميزة Characteristic Intensity	
771.00	584.00	492.00	1621.00	1642.00	504.00	441.00	السرعة المطلقة التراكمية Cum. Abs. Velocity (cm/sec)	
111.00	98.00	110.00	204.00	167.00	57.00	74.00	شدة هوسنر Housner Intensity (cm)	
2.17	2.13	2.49	2.30	2.13	2.74	2.53	التسارع الأعظمي المعزز Sustained Max Acc (m/sec ²)	
3.21	3.03	2.62	3.84	2.70	6.03	5.29	التسارع التصميمي الفعال Effe Design Acc (m/sec ²)	
الاحرف المعياري St Dev	المتوسط الحسابي Average	7162y	7162x	6332y	6332x	4674y	4674x	1560y→
3.00	5.23	12.22	11.49	5.74	5.34	3.97	3.74	4.08
19.89	41.33	46.81	36.09	85.39	22.51	28.65	73.52	33.76
0.06	0.10	0.04	0.03	0.15	0.04	0.07	0.20	0.08
0.25	0.54	1.01	0.89	0.44	0.39	0.38	0.38	0.27
2.97	2.49	10.48	8.14	1.62	1.29	1.79	1.79	0.65
2.08	2.71	8.13	6.73	2.11	1.78	2.06	2.07	1.05
564	949	2033.00	1826.00	590.00	570.00	804.00	802.00	610.00
66.00	131.00	84.00	68.00	287.00	94.00	147.00	212.00	123.00
2.43	3.66	8.76	9.42	4.75	2.83	3.78	3.39	1.87
1.96	4.65	9.52	7.53	5.12	4.60	3.87	3.73	3.95

3-2-3- التطابق الطيفي باستخدام الأمواج الصغيرة :Spectral Matching by Wavelets

تعتمد هذه الطريقة TD scaling على تعديل السجل الزمني الحقيقي بشكل متكرر في مجال الزمن، بهدف الحصول على المطابقة مع طيف الاستجابة التصميمي الهدف وذلك بإضافة أمواج صغيرة wavelets على السجل

الزمني الحقيقي. حيث تعمل هذه الطريقة على تعديل السجل موضعياً في المكان الذي تقع فيه القيمة الطيفية spectral value ، مما يؤدي إلى تشويش موضعی localized perturbation فقط على السجل الحقيقي وطيف الاستجابة الخاص به. (Lilhanand and Tseng. 1988 [10]). تقوم هذه الطريقة على الملاحظة أن الوقت الذي تحصل فيه الاستجابة الطيفية spectral response للسجل الزمني لا تشوش بالتعديلات الصغيرة التي تتم على السجل الزمني.

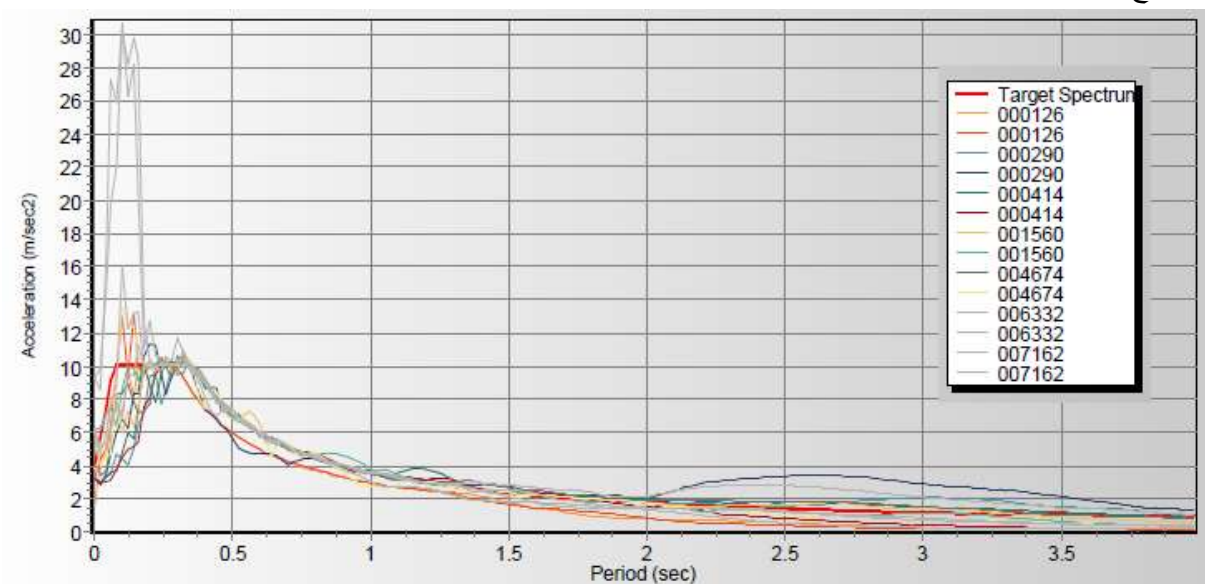
يوضح الجدول (5) البرامترات الزلالية الخاصة بالمركبات الزلالية الناتجة للمجموعة الأولى بعد تقسيسها.

جدول (5): البرامترات الزلالية الخاصة بالسجلات الزمنية للمجموعة الأولى المقسّسة باستخدام TD Scaling

	(رموز سجلات المجموعة (1Set 1))						
←1560x	414y	414x	290y	290x	126y	126x	التسارع الأعظمي Max Acc (m/sec ²)
3.83	2.95	3.00	2.84	2.91	4.34	4.43	السرعة الأعظمية Max Velocity (cm/sec)
35.60	28.97	42.95	50.85	35.94	30.34	38.45	السرعة الأعظمية / التسارع الأعظمي Vmax/Amax (sec)
0.44	0.44	0.44	0.39	0.38	0.76	0.68	الحد التربيعي المتوسط Acc RMS (m/sec ²)
1.72	0.94	0.93	1.48	1.65	0.91	0.73	شدة أرياس Arias Intensity (cm/sec)
2.17	1.62	1.60	1.90	1.98	2.07	1.76	الشدة المميزة Characteristic Intensity
1228.0	633.00	562.00	1314.0	1432.0	449.00	397.00	السرعة المطلقة التراكيمية Cum. Abs. Velocity (cm/sec)
132.00	123.00	138.00	156.00	131.00	89.00	91.00	شدة هوسنر Housner Intensity (cm)
2.96	2.44	2.70	1.87	2.22	3.19	2.76	التسارع الأعظمي المعزز Sustained Max Acc (m/sec ²)
3.25	2.91	3.11	2.94	3.02	4.33	4.43	التسارع التصميمي الفعال Effe Design Acc (m/sec ²)

الانحراف المعياري St Dev	المتوسط الحسابي Average	7162y	7162x	6332y	6332x	4674y	4674x	1560y→
1.97	4.61	7.95	9.35	5.08	4.42	3.86	3.45	6.18
9.77	37.23	33.73	31.36	54.81	26.58	24.47	53.33	33.88
0.04	0.09	0.04	0.03	0.11	0.06	0.06	0.16	0.06
0.17	0.49	0.78	0.74	0.36	0.37	0.35	0.32	0.36
1.72	1.87	6.17	5.56	1.09	1.14	1.51	1.24	1.17
1.28	2.27	5.47	5.06	1.57	1.62	1.82	1.57	1.63
439.00	917.00	1678.00	1555.00	605.00	573.00	763.00	672.00	972.00
20.00	126.00	122.00	128.00	158.00	107.00	124.00	140.00	129.00
1.97	3.51	7.22	8.75	3.20	3.16	3.50	2.85	2.32
1.27	4.15	5.99	6.89	4.50	3.84	3.67	3.44	5.85

يظهر الشكل (5) أطيف الاستجابة الخاصة بالسجلات الزلزالية الناتجة للمجموعة الأولى أيضاً والتي تم تقييسها باستخدام هذه الطريقة، حيث ظهر تقارب كبير في قيم التسارع لكل هذه السجلات في مجال الدور قيد الاهتمام مع قيمة التسارع الخاص بالطيف الهدف.



الشكل (5): أطيف استجابة السجلات الزمنية المقيسة باستخدام TD Scaling والطيف الهدف.

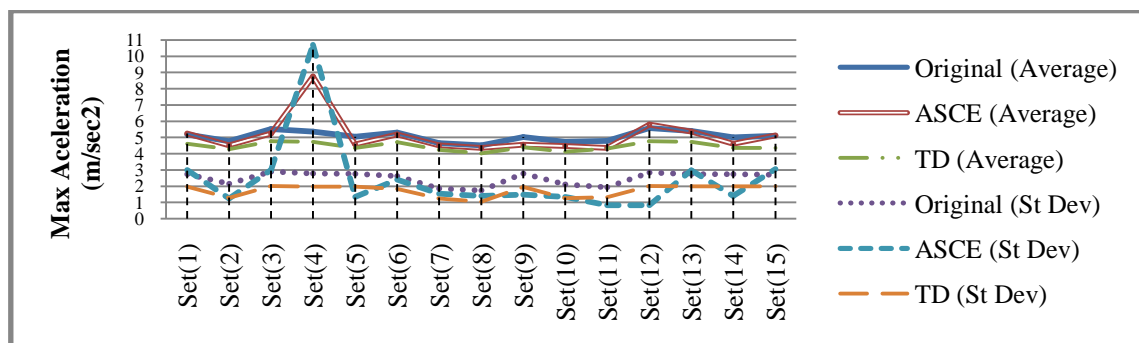
النتائج و المناقشة:

قمنا في هذا البحث باختيار 15 مجموعة من السجلات الزمنية لأحد الموقع في الجغرافيا السورية بما يتناسب مع اشتراطات الكود السوري، بعد أن تم تحديد الدور الأساسي لأحد المنشآت بإجراء التحليل النمطي له بهدف الحصول على مجال الدور قيد الاهتمام. ثم قمنا بتقييس هذه السجلات باستخدام طريقتين مختلفتين للتقييس.

وبعد أن تم الحصول على المتوسط الحسابي، والانحراف المعياري للبارامترات الزلالية الخاصة بالسجلات الزمنية المقيسة باستخدام كلا الطريقتين والخاصة بالسجلات الأصلية أيضاً، وذلك لكل مجموعة من المجموعات كما بينا سابقاً في الجداول (3)، (4)، (5) العائدة لمجموعة الأولى، نعرض في الأشكال التالية تلك القيم بشكل منفصل لكل بارامتر زلالي بهدف المقارنة الدقيقة للتغيرات في قيمة كل بارامتر:

1- التسارع الأرضي الأعظمي :Max Acc

يبين الشكل (6) مع الجدول (6) التغيرات في قيم المتوسط الحسابي من جهة والانحراف المعياري للتسارع الأرضي الأعظمي من جهة أخرى لكل من السجلات الأصلية Original والسجلات المقيسة بطريقة TD والسجلات المقيسة وفق طريقة ASCE.



الشكل (6): المتوسط الحسابي والانحراف المعياري للتسارع الأرضي الأعظمي.

جدول (6): المتوسط الحسابي و الانحراف المعياري للتسارع الأرضي الأعظمي.

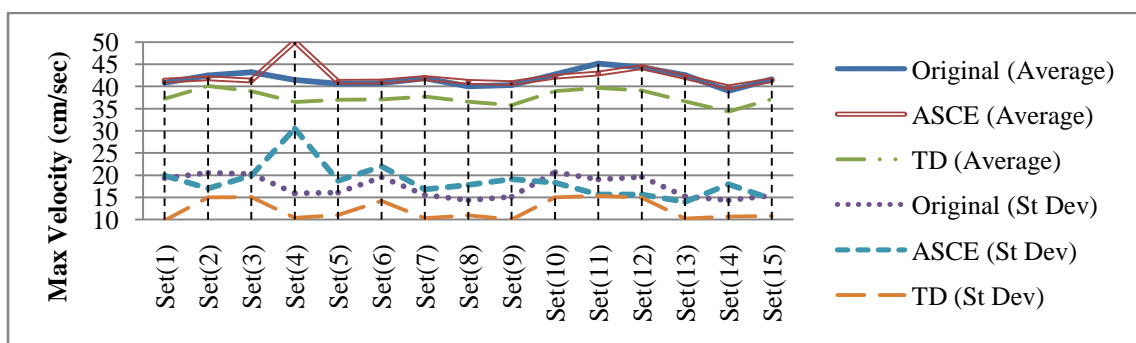
Set(6)	Set(5)	Set(4)	Set(3)	Set(2)	Set(1)	Max Acc (m/sec²)
5.293	5.036	5.348	5.520	4.764	5.181	Original (Average)
5.187	4.575	8.741	5.230	4.508	5.230	ASCE (Average)
4.700	4.346	4.722	4.759	4.264	4.613	TD (Average)
2.625	2.755	2.782	2.893	2.133	2.730	Original (St Dev)
2.395	1.344	10.69				ASCE (St Dev)
1.822	1.972	1.973	2.000	1.276	1.967	TD (St Dev)
Set(15)	Set(14)	Set(13)	Set(12)	Set(11)	Set(10)	Set(9)
5.092	5.000	5.404	5.576	4.778	4.731	5.014
5.123	4.600	5.363	5.787	4.345	4.466	4.552
4.342	4.343	4.719	4.756	4.302	4.107	4.391
2.704	2.742	2.725	2.834	1.934	2.104	2.770
3.054	1.400	2.962	0.830	0.830	1.333	1.478
1.980	1.975	1.982	2.009	1.311	1.263	1.950
						Set(8) 4.508
						Set(7) 4.647

نلاحظ أن قيمة المتوسط الحسابي في السجلات المقاييس بواسطة ASCE متطابقة تقريباً مع السجلات الأصلية، إلا قيمة مجموعة واحدة فقط وهي المجموعة الرابعة (والتي سوف نعمل على تفسيرها لاحقاً). أما السجلات المقاييس بواسطة TD فهي تسير بشكلٍ موازي للسجلات الأصلية وبقيم أقل بنسبة 10% تقريباً. أي أن طريقة TD تسجل قيمًا أقرب لقيمة التسارع الأرضي الأعظمي في الطيف الهدف وهي $m = 4.022 \text{ g} = 0.41g$.

أما بالنسبة للانحراف المعياري نلاحظ أن السجلات المقاييس بواسطة TD تسير بشكلٍ موازي للسجلات الأصلية وتقل عن الأصلية بنسبة 30% تقريباً. أي أنها أدت إلى قيمًا متقاربة فيما بين السجلات في كل مجموعة وبالتالي تصبح أكثر مطابقة للطيف الهدف. وتسجل السجلات المقاييس بواسطة ASCE قيمًا قريبة للسجلات الأصلية ولكن عشوائية ولا توازيها، مع نفس الملاحظة بالنسبة للمجموعة الرابعة.

2- السرعة الأعظمية :Peak Velocity

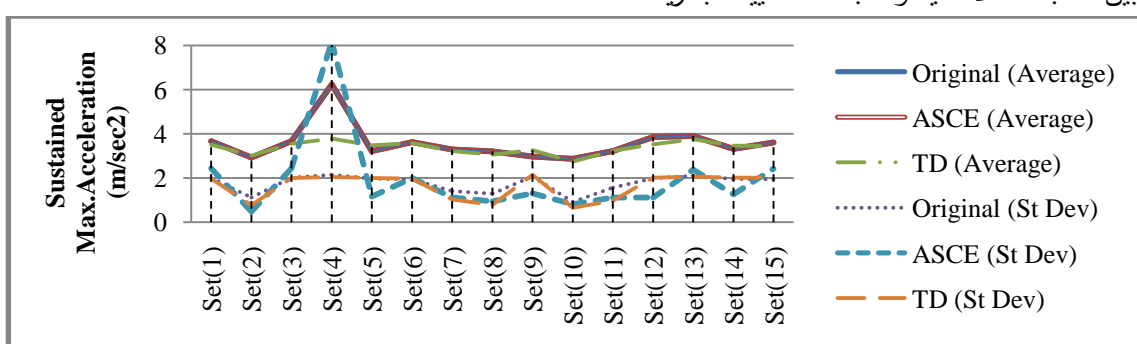
يمكننا ملاحظة أن قيم السرعة الأعظمية قد سلكت سلوكاً مشابهاً لقيم التسارع الأرضي الأعظمي كما يظهر لدينا في الشكل (7).



الشكل (7): المتوسط الحسابي و الانحراف المعياري للسرعة الأعظمية.

3- التسارع الأعظمي المكرر :Sustained Maximum Acceleration

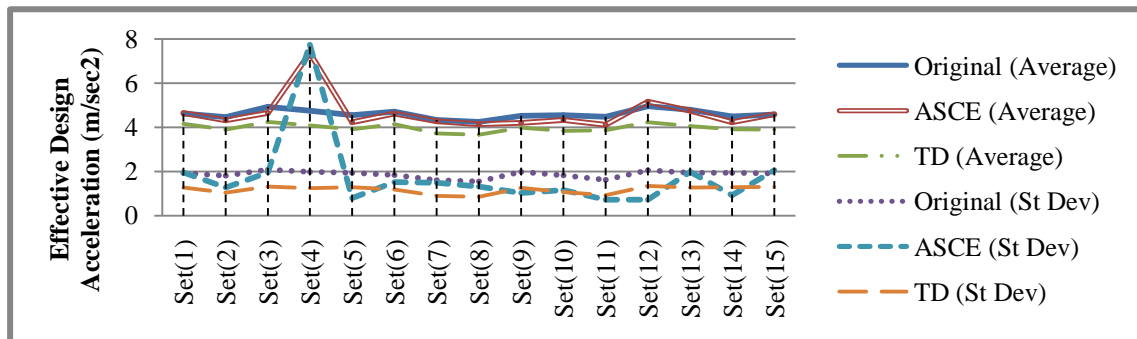
تحتاج نتائج التسارع الأعظمي المكرر عن ما سبقه قليلاً، حيث يمكن أن نلاحظ في الشكل (8) التمايز شبه التام في قيم المتوسط الحسابي للسجلات المقاييس بالطريقتين مع السجلات الأصلية (إلا المجموعة الرابعة). وأن الانحراف المعياري للسجلات المقاييس بطريقة ASCE تعد الأكثر ثباتاً هنا، ولكن يمكن ملاحظة التوازي أيضاً أو شبه التمايز بين السجلات الأصلية والسجلات المقاييس بطريقة TD.



الشكل (8): المتوسط الحسابي و الانحراف المعياري للتسارع الأعظمي المكرر.

4- التسارع التصميمي الفعال :Effective Design Acceleration

وهنا أيضاً يمكننا ملاحظة أن قيمة التسارع التصميمي الفعال قد سلكت سلوكاً مشابهاً لقيمة التسارع الأرضي الأعظمي كما يظهر لدينا في الشكل (9).



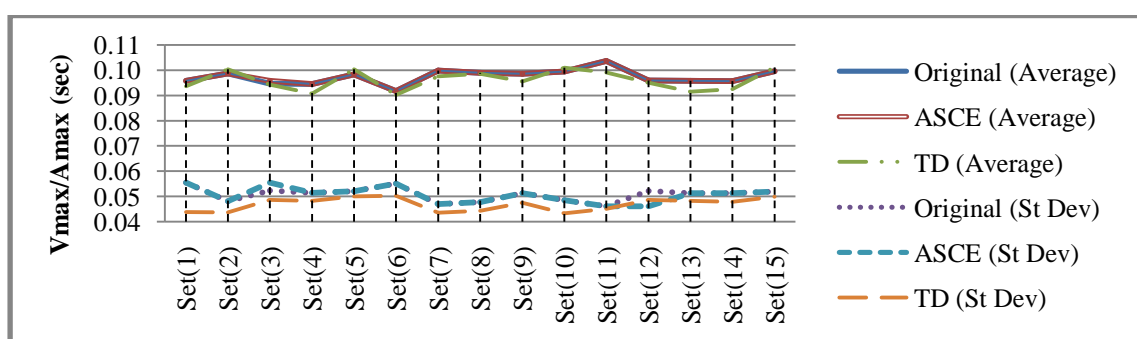
الشكل (9): المتوسط الحسابي والانحراف المعياري للتسارع التصميمي الفعال.

نلاحظ أن طريقة TD في البارامترات الأربع السابقة التي تعبر عن المطارات في السجلات الزلالية قد خفضت قيمة المطارات لتتناسب مع الطيف الهدف، وقد سجلت قيمًا منخفضة أيضًا للانحراف المعياري، وبالتالي فإن أطياف الاستجابة الخاصة بالسجلات المقيسة بواسطتها متقاربة فيما بينها وأكثر قرابةً للطيف الهدف.

ولم تتغير قيمة المتوسط الحسابي تقريبًا بالنسبة للسجلات المقيسة بواسطة ASCE (إلا المجموعة الرابعة)، بينما سجلت قيمًا عشوائية قريبة من السجلات الأصلية بالنسبة للانحراف المعياري.

5- السرعة الأعظمية / التسارع الأعظمي : v_{max}/a_{max}

يعبر هذا البارامتر عن المحتوى الترددي بشكل خاص والذي بقي ثابتاً تقريباً في كلا الطريقتين ومطابقاً لقيم الأصلية كما هو ملاحظ من قيمة المتوسط الحسابي، أي أن الطريقتين قد حافظتا تماماً على المحتوى الترددي للسجلات الأصلية. ولكن يظهر الشكل (10) أن طريقة TD عملت على تقليل الفرق بين المحتوى الترددي للسجلات في المجموعة الواحدة كما هو واضح في انخفاض قيمة الانحراف المعياري.

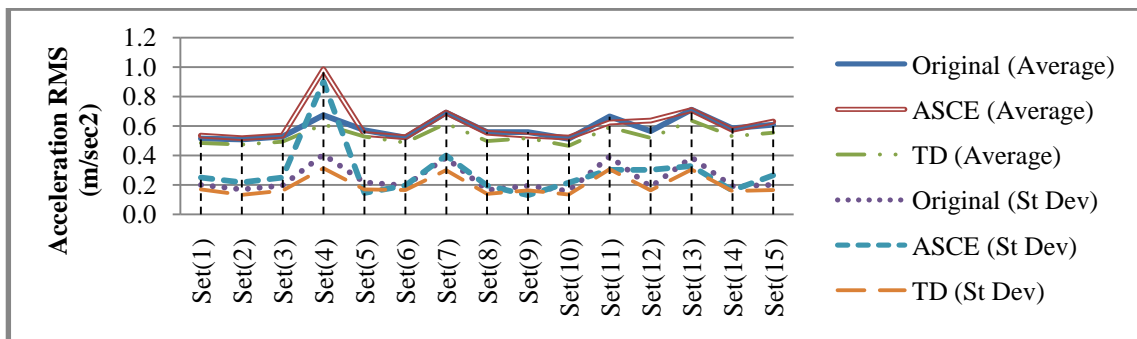


الشكل (10): المتوسط الحسابي والانحراف المعياري لـ v_{max}/a_{max}

6- مقارنة الجذر التربيعي المتوسط Acc RMS :

نلاحظ في الشكل (11) أن قيمة المتوسط في السجلات المقيسة بواسطة ASCE متطابقة مع السجلات الأصلية، إلا قيمة مجموعة واحدة فقط وهي المجموعة الرابعة. أما السجلات المقيسة بواسطة TD فهي تسير بشكل

موازي للسجلات الأصلية ويقيم أقل منها. أما بالنسبة لانحراف المعياري نلاحظ أن السجلات المقاييس بواسطة TD تسير بشكل موازي للسجلات الأصلية وتقل عنها. وتسجل السجلات المقاييس بواسطة ASCE فيما قريبة للسجلات الأصلية ولكن عشوائية ولا توازيها، مع نفس الملاحظة بالنسبة للمجموعة الرابعة.

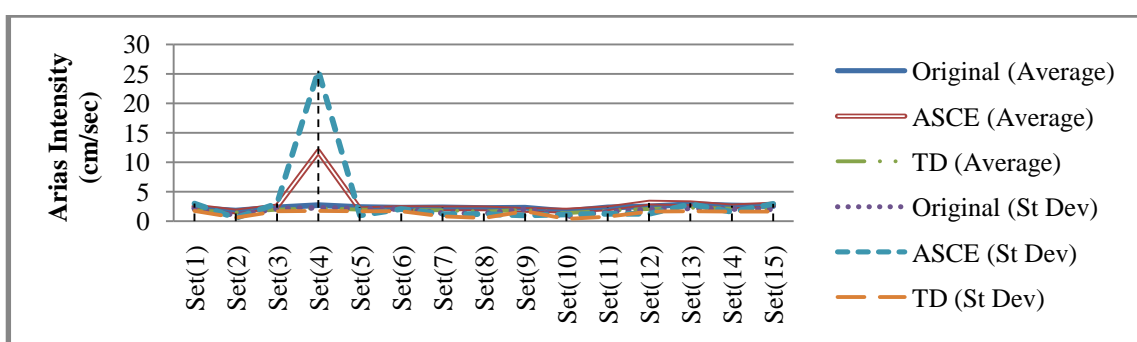


الشكل (11): المتوسط الحسابي و الانحراف المعياري للجذر التربيعي المتوسط للتسارع.

7- مقارنة شدة أرياس AI:

يتميز الشكل (12) بالانتظام لجميع القيم تقريبا خلا القيم الخاصة بالمجموعة الرابعة والمقيسة بطريقة

.ASCE



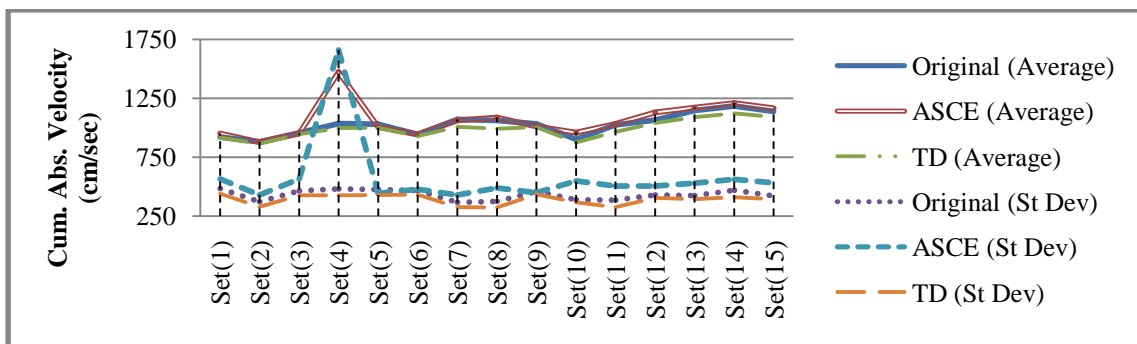
الشكل (12): المتوسط الحسابي و الانحراف المعياري لشدة أرياس.

8- مقارنة السرعة المطلقة التراكمية :CAV

يمكننا ملاحظة أن قيم السرعة هنا قد سلكت سلوكا مشابها لقيم الجذر التربيعي كما يظهر لدينا

في الشكل (13).

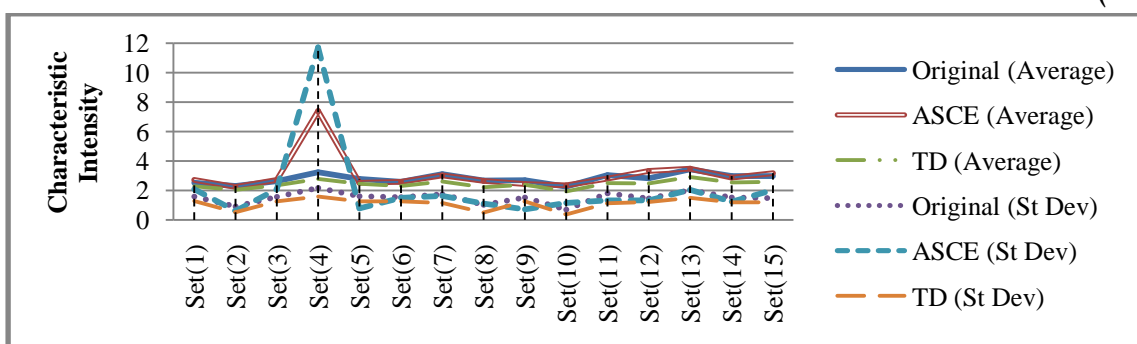
أي أنها حافظت على مقدار الضرر المحتمل في المنشآت من خلال محافظتها قيم المتوسط الحسابي.



الشكل (13): المتوسط الحسابي والانحراف المعياري للسرعة المطلقة التراكمية.

9- الشدة المميزة :Characteristic Intensity

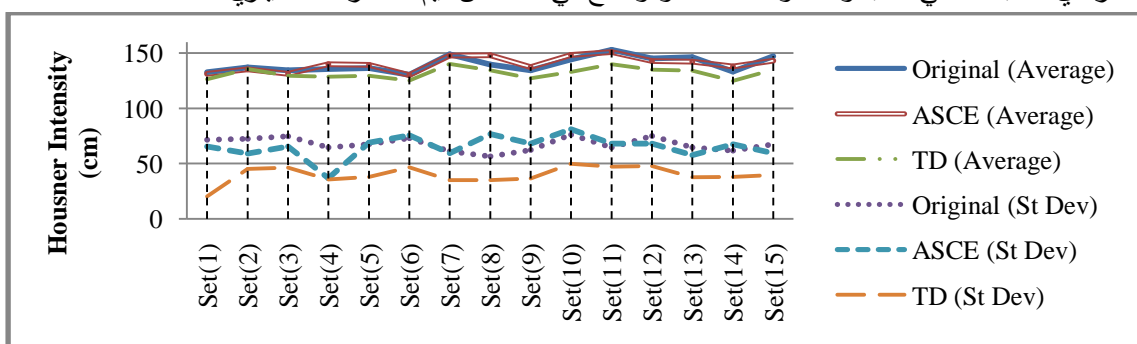
وهنا أيضاً يمكننا ملاحظة أن قيم الشدة المميزة قد سلكت سلوكاً مشابهاً لقيم الجذر التربيعي كما يظهر لدينا في الشكل (14).



الشكل (14): المتوسط الحسابي والانحراف المعياري للشدة المميزة.

10- شدة طيف الاستجابة لهوسنر :Housner Intensity

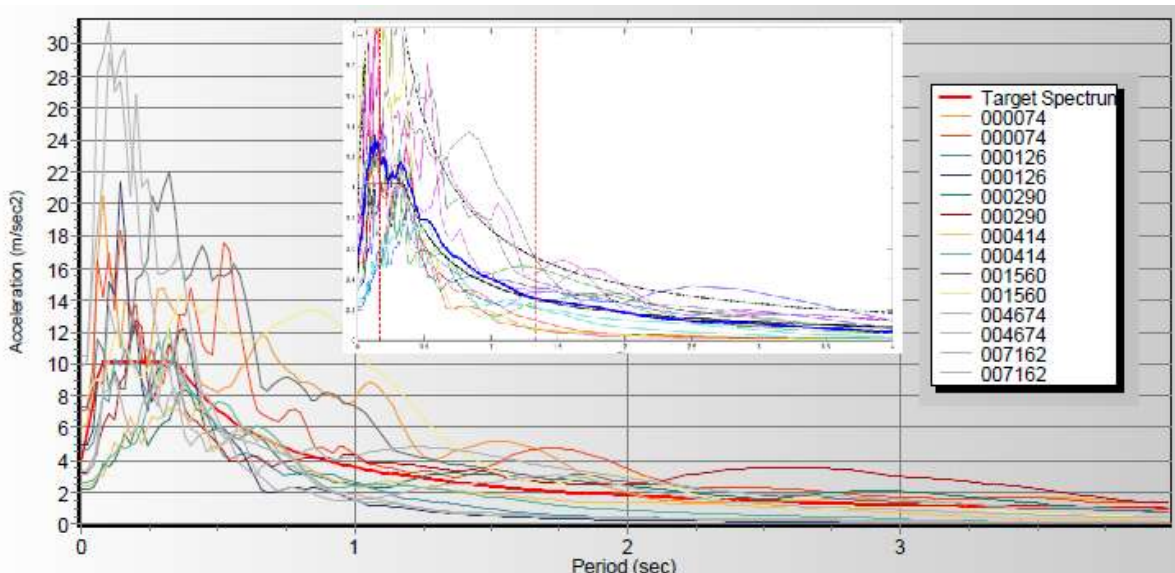
يعبر هذا البارامتر أيضاً عن المحتوى الترددية أكثر منه عن المطارات، ونلاحظ أن الطريقتين قد حافظتا تماماً على المحتوى الترددية للسجلات الأصلية. ولكن يظهر الشكل (15) أن طريقة TD عملت على تقليل الفرق بين المحتوى الترددية للسجلات في المجموعة الواحدة كما هو واضح في انخفاض قيم الانحراف المعياري.



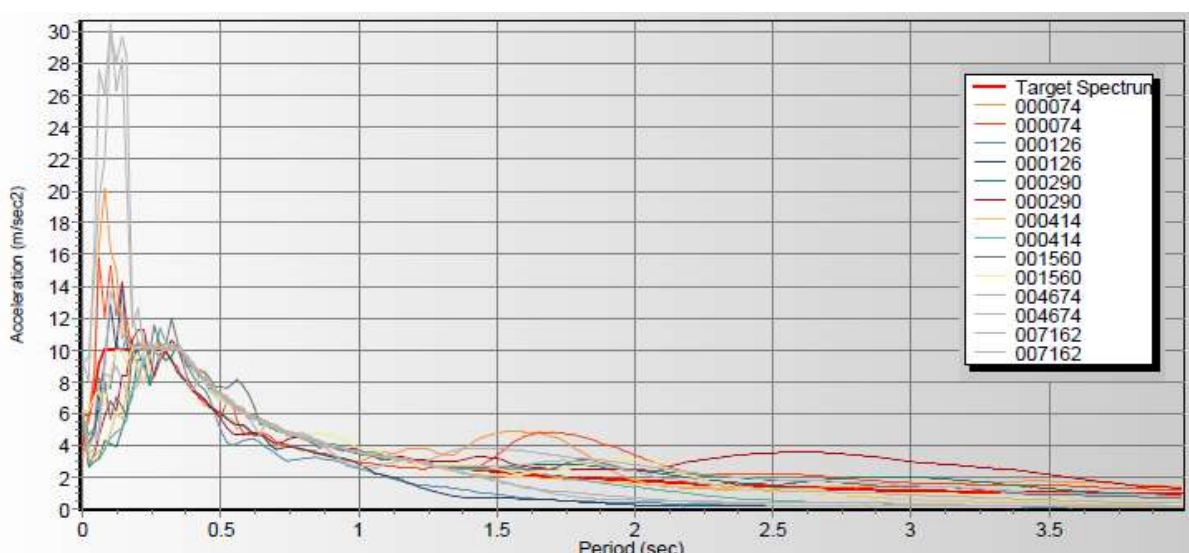
الشكل (15): المتوسط الحسابي والانحراف المعياري لطيف الاستجابة لهوسنر.

11- مناقشة النتائج:

- لاحظنا في معظم الأشكال السابقة في الفقرة (4) أن السجلات المقاييسة بطريقة ASCE تملك قيمةً كبيرةً وشاذةً للمتوسط الحسابي والانحراف المعياري في المجموعة الرابعة. ويعود هذا إلى أن أحد السجلات في تلك المجموعة (السجل 7162) ذو طيف استجابة مرتفع القيم نسبياً كما يبين الشكل (16)، علماً أن المجموعة محققة لاشترط الكود تماماً من حيث أن قيمة الطيف المتوسط محققة للشرط الوارد في الكود ضمن مجال الدور قيد الاهتمام كما يظهر في الشكل نفسه. ولكن بعد تطبيق الطريقة على هذه السجلات لتقييسها عملت هذه الطريقة على رفع قيم أطياف الاستجابة (وخصوصاً السجل 7162) بشكلٍ غير منطقي بدلًا من خفضها، وبالتالي فإن وجود مثل هذا السجل عمل على تشويش عملية التقييس بحيث أنه رفع قيم معاملات التقييس لهذه المجموعة.
- أما طريقة TD فقد عملت على ضبط هذا السجل ضمن المجموعة في مجال الدور قيد الاهتمام كما يظهر الشكل (17).



الشكل (16): متوسط أطياف المجموعة الرابعة من السجلات الزلزالية الأصلية Original ضمن مجال الدور قيد الاهتمام.



الشكل (17): أطياف المجموعة الرابعة من السجلات الزلزالية المقاييسة وفق TD.

• لاحظنا في جميع الأشكال السابقة في الفقرة (4) أن السجلات المقيسة بطريقة TD تملك قيمة صغيرة للانحراف المعياري. كما أن طريقة TD تملك قيمًا للمتوسط الحسابي موازية لقيمة الأصلية وبقيم أقل، وأن قيمها في الانحراف المعياري موازية لقيم السجلات الحقيقية ولكن بقيم أقل أيضًا. وبالتالي عملت طريقة TD على المحافظة على المحتوى الترددية وعلى المطارات وأنتجت سجلات ذات أطيف استجابة قوية جداً من الطيف الهدف في مجال الدور قيد الاهتمام.

الاستنتاجات والتوصيات:

اعتماداً على ما نقدم يمكن التوصل إلى عدة نتائج أهمها:

1- بالنسبة لمطابقة الطيف من حيث الشكل:

- 1- إن طريقة المطابقة الطيفية في مجال الزمن TD أكثر فعالية في عملية مطابقة الطيف الهدف، فهي تومن تطابقاً شبه تام بين الأطيف الناتجة للسجلات الزمنية مع الطيف الهدف ضمن مجال الدور قيد الاهتمام.
- 2- تهتم الطريقة ASCE بمطابقة متوسط SRSS لأطيف السجلات الزلالية مع الطيف الهدف وبالتالي فإن مطابقة طيف كل سجل على حده للطيف الهدف تعد ضعيفة نسبياً.

2- بالنسبة للمحافظة على البارامترات الزلالية:

وجدنا أن طريقة TD هي الأكثر محافظة على البارامترات الزلالية التي كانت في السجلات الأصلية مقارنة بطريقة ASCE، وبالتالي يمكن استنتاج ما يلي:

- 1- تحافظ كلاً الطريقتين على المحتوى الترددية للسجلات الأصلية.
- 2- تحافظ كلاً الطريقتين على مقدار الضرر الإنساني الناجم عن الزلزال (الفقرة 4-8)، ولكن تتسبب طريقة ASCE بتضخيم هذا الضرر بشكل غير منطقي عند اختيار سجلات ذات أطيف استجابة مرتفعة القيمة كما في حالة المجموعة الرابعة.
- 3- تعمل طريقة TD على تنشيط مطارات التسارع للسجلات لتقريرها بذلك من قيمها المقابلة على الطيف الهدف.
- 4- كما أن مقدار الانحراف المعياري في طريقة TD صغير القيمة مقارنة بالطريقة الأخرى، وبالتالي فهي تعمل على تقرير أطيف السجلات المقيسة بواسطتها من الطيف الهدف بشكل أكبر. ويدل هذا على ثبات ومصداقية هذه الطريقة مقارنة بالطريقة الأخرى.

وبالتالي ننصح باستخدام طريقة TD في عمليات التقسيس بعد اختيار السجلات المناسبة، كونها الأكثر فعالية في الحفاظ على الخصائص الأصلية للسجلات الزمنية كما تعطي المطابقة الأفضل من حيث الشكل وتؤديها في الفعالية طريقة ASCE. كما ننصح بإجراء تقييم للسجلات المقيسة بطريقة ASCE قبل استخدامها في التحليل خصوصاً عندما تحتوي على سجلات ذات تسارعات كبيرة.

التوصيات:

- ✓ إجراء دراسة استجابة عدة نظم إنسانية SDOF, MDOF ومدى تأثير استجابتها باختلاف نوع طريقة التقسيس المتبعة.
- ✓ دراسة تأثير متغيرات أخرى بالإضافة للتسارع الكبير كما ورد في المجموعة الرابعة على ثبات ومصداقية طريقة ASCE (السرعة مثلاً).

المراجع:

- [1]. ABRAHAMSON, N. A; SILVA, W. J. *Empirical response spectral attenuation relations for shallow crustal earthquakes.* Seismol. Res. Lett. Vol. 68, 1997, pp. 94-127.
- [2]. AMERICAN SOCIETY OF CIVIL ENGINEERS. (2007). ASCE/SEI 41-06. *Seismic rehabilitation of existing buildings.* American Society of Civil Engineers, Reston, Va.2007.
- [3]. CSI Software | Computers and Structures, Inc. [Quoted, 2014]. available at: <<http://www.csiamerica.com/products/etabs>>.
- [4]. DUBERTRET, L. *Review of the structural geology of the Red Sea and Surrounding areas.* Royal Society of London philosophical transactions, Series A 267, 1970, 9-20.
- [5]. GRAIZER, V; KALKAN, E. *Prediction of Response Spectral Acceleration Ordinates based on PGA Attenuation.* Earthquake Spectra, Vol. 25, No. 1, 2009, pp. 36 – 69.
- [6]. GRAHAM, B ; MUAWIA B. *Tectonic and Geologic Evolution of Syria GeoArabia.* Vol. 6, No. 4, 2001 Gulf PetroLink, Bahrain 573.
- [7]. HATEM, M. *Re-Evaluations of Seismic Hazard of Syria. International Journal of Geosciences,* 2012, 3, 847-855 doi:10.4236/ijg.2012.324085 Published Online September 2012. <<http://www.SciRP.org/journal/ijg>>
- [8]. IERVOLINO, I; GALASSO, C . *REXEL 2.31 beta—tutorial,* 2009, [Quoted, November 8 2014], available at: <<http://www.reluis.it/doc/software>>.
- [9]. KRAMER, S, L. *Geotechnical Earthquake Engineering,* Prentice Hall, Upper Saddle River, NJ. (1996).
- [10]. LILHANAND, K.; TSENG, W,S. "Development and application of realistic earthquake time histories compatible with multiple-damping design spectra," Proceedings of the 9th World Conference on Earthquake Engineering, Tokyo, Japan, Vol II, 819-824. [1988].
- [11]. SEISMOSOFT. 2010a. *Seismospect 1.0.2.* [Quoted, November 8 2014]. Available at <<http://www.seismosoft.com>>.
- [12]. SYRIAN ARAB CODE – Appendix 2. *Design And Check Of Seismic Resistant Buildings And Constructions.* 2en Edition, Damascus, Syria, 2012, 254p.
- [13]. UBC97 . UNIFORM BUILDING CODE. [Quoted, November 8 2014]. <<https://drive.google.com/file/d/0B5oarfYUwEDrY1NBMU52M3FHVDA/edit>>.